

UDC 669.046.58 : 532.61.083 : 531.75.085 : 546.722-31 : 546.41-31 : 546.281-31

論 文

溶融 FeO-CaO-SiO₂ スラグの表面張力および密度*

川合保治**・森 克巳**・白石博章***・山田 昇***

Surface Tension and Density of FeO-CaO-SiO₂ Melts

Yasuji KAWAI, Katsumi MORI, Hiroaki SHIRAIKI, and Noboru YAMADA

Synopsis:

The surface tension and density of FeO-CaO, FeO-SiO₂, and FeO-CaO-SiO₂ melts, CaO content up to 40 mol% and SiO₂ up to 50 mol%, in contact with solid iron, have been measured at temperatures from melting points to 1430°C by the maximum bubble pressure method.

Surface tension values of these melts are in the range from 350 to 530 dyn/cm.

Surface tension and density of liquid iron oxides show an abnormal behavior, that is, a positive dependence on temperature. The addition of CaO or SiO₂ to iron oxide lead to monotonous decreases of surface tension and density of melts, but the maximum of surface tension is observed in the iso-thermal curve of surface tension of FeO-CaO-SiO₂ ternary melts of constant CaO content at 1400°C.

It is found that surface tension values of melts calculated from the equation containing terms of surface tension coefficients and the effect of ferric oxide agree well with the experimental results in the composition range of this experiment.

Molar volumes of FeO-CaO and FeO-30CaO-SiO₂ melts show negative deviations from ideal mixture of components.

1. 緒 言

溶融スラグの表面張力および密度は製錬過程における種々の現象を解析するために、また、溶融スラグの構造を解明するための基礎的資料として重要な物性値であり、これまでにも多くの研究がなされているが、FeOを含む製鋼スラグについてはスラグの侵食性が強く、酸化物系耐火物の使用が困難であるため表面張力に関する報告は少なく、十分に理解されているとは言いがたい。たとえば、FeO-CaO-SiO₂ 系の 2 元、3 元系スラグの表面張力については KOZAKEVITCH¹⁾ による一連の研究以後は 2, 3 の報告がなされている程度である。一方、密度に関しては比較的多くの測定がなされているが²⁾、その大部分は FeO-SiO₂ 系で十分とはいえない。

そこで、本研究では表面張力の測定と同時に密度の測定が可能である最大泡圧法を採用し、軟鋼製のるつぼおよびガス吹込み管を用いて、固体鉄と平衡した状態での

FeO-CaO-SiO₂ 系スラグの表面張力および密度の測定を行なつたので、その結果を報告する。

2. 実験方法

2.1 測定方法

本実験で採用した最大泡圧法は液体中に浸漬した毛細管の上方よりガスを送り、その先端で気泡を形成させる際に生ずる最大圧を測定し、表面張力および密度を求める方法である。

使用した装置の概略を Fig. 1 に示す。加熱には炉の中央部に ±2°C で約 50 mm の均熱部をもつシリコニット炉を用いた。合成スラグ試料 60~75 g を軟鋼製のるつぼ（内径 30 mm, 高さ 70 mm）に入れ、炉の均熱部に設置する。炉内を Ar ガスに置換した後、少量の Ar ガスを流しながら加熱溶融する。ガス吹込み管は外径 10 mm, 内径 6 mm の軟鋼製管の一端に毛細管部（外径 5 mm, 内径 3 mm, 長さ 25 mm）を溶接したもので、

* 昭和 46 年 4 月本会講演大会にて発表 昭和 50 年 4 月 28 日受付 (Received April 18, 1975)

** 九州大学工学部 工博 (Faculty of Engineering, Kyushu University Hakozaki, 6-10-1, Higashi-ku, Fukuoka-shi 812)

*** 住友金属工業(株)鹿島製鉄所 (Kasima Steel Works, Sumitomo Metal Industries, Ltd.)

**** 住友金属工業(株)小倉製鉄所 (Kokura Steel Works, Sumitomo Metal Industries, Ltd.)

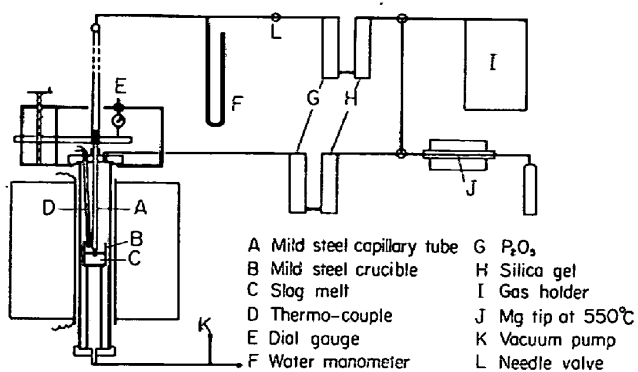


Fig. 1. Schematic diagram of experimental apparatus.

これにごく少量の Ar ガスを送りながら管をゆつくりと降下させる。マノメーターに急激な差圧が現われることで、まず液面の位置を確認する。その後ガス吹込み管を 4 mm 降下させる。Ar ガスの流量を 20~30 sec 毎に 1 ケの気泡が形成されるように調節し、マノメーターの差圧として生ずる最大圧をカセットメーター（最小目盛り 1/20 mm）で読み取る。ガス吹込み管の降下量は炉の上部に取付けたダイヤルゲージで 1/100 mm まで読み取り、管の浸漬による液面上昇の補正を行なつて浸漬深さとする。さらに 2 mm 間隔で数箇所、浸漬深さを変えて測定し、得られたマノメーターの読み (h_m) と浸漬深さ (h_s) の関係より密度 (ρ) を(1)式より、表面張力 (σ) を(2)式の Schrödinger の式より求めた。

$$\rho = \frac{\rho_m \cdot (h_{m2} - h_{m1})}{(h_{s2} - h_{s1})} \quad \dots \dots \dots (1)$$

$$\sigma = \frac{g \cdot r \cdot h^* \cdot \rho}{2} \left\{ 1 - \frac{2}{3} \frac{r}{h^*} - \frac{1}{6} \left(\frac{r}{h^*} \right)^2 \right\} \dots \dots \dots (2)$$

ρ_m : マノメーター液の密度, g : 重力加速度

r : 毛細管の内半径

$$h^* = (\rho_m \cdot h_m - \rho \cdot h_s) / \rho$$

ガス吹込み管の内径はノギス (1/20 mm) で測定し、管は各測定毎に取換えた。なお一部の実験において炉内雰囲気および気泡形成ガスとして固体鉄および酸化鉄含有スラグと平衡する組成の CO-CO₂ 混合ガスを用いた。

2.2 スラグ試料

試薬のシュウ酸第一鉄をるつぼに入れ、タンマン炉中で Ar ガスを吹きつけながら 800~1 000°C で加熱分解する。さらに昇温し、融解させた後、鉄製容器に流し出し、水中急冷したものを粉碎して FeO 試料とした。2 元系、3 元系のスラグ試料は、この FeO と試薬の酸化カルシウム (CaO) と無水ケイ酸 (SiO₂) を所定量配合し、FeO の作成時と同様に鉄るつぼで Ar ガスを吹きつけながら溶融させ、水中急冷したものを用いた。測定に供したスラグの配合組成を Fig. 2 に示す。スラグ中

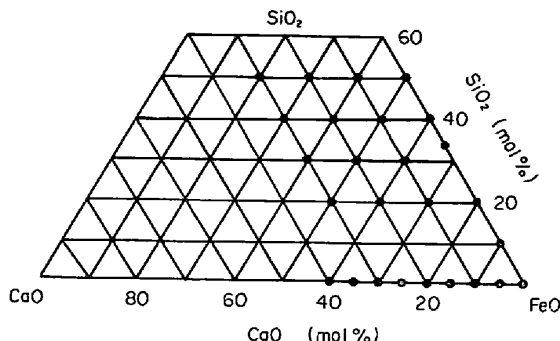


Fig. 2. Composition of slag samples.

には少量の Fe₂O₃ が含まれており、配合組成も溶解中に若干の変化をするが、測定値におよぼす影響は小さいので、以下の実験結果はすべて配合組成にもとづいて記述した。

3. 実験結果および考察

3.1 FeO

軟鋼製のるつぼ、ガス吹込み管を用いたために、測定は融点近くから最高 1 430°C の狭い温度範囲に制限された。得られた表面張力および密度と温度の関係をほかの研究者の結果とともに Fig. 3 に示す。図中、直線は表面張力、密度が温度に対し直線的に変化すると見なして最小自乗法で求めたもので、温度についての一次式を Table 1 に示した。図から明らかなように温度の上昇により表面張力、密度が増大するという通常の液体とは逆の傾向を示す異常性が観察された。このような異常性は

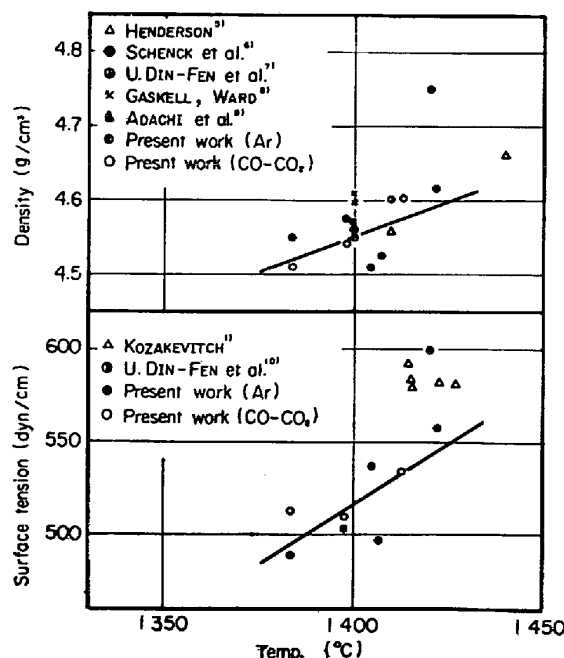


Fig. 3. Density and surface-tension of liquid FeO in contact with solid iron.

HENDERSON⁵⁾ や SCHENCK et al.⁶⁾ による密度測定でもみられ、融体中の Fe₂O₃ の量の変化によるものと考えられているので、この点を従来のデータを基にして検討してみる。

固体鉄と平衡する溶融 FeO 中には少量の Fe³⁺ が含まれており、その量は温度の上昇とともに減少する。DARKEN, GURRY¹¹⁾によれば 1400°C における Fe₂O₃ 含量は 7.6% で、温度変化は -0.03% Fe₂O₃/°C である。POPEL, ESIN¹²⁾ や U. DIN-FEN et al.¹⁰⁾ によれば Fe³⁺ は表面活性な性質があり、Fe³⁺ の低下は溶融 FeO の表面張力の増大（約 -9 dyn/cm/%Fe₂O₃）をもたらす。一方、森、鈴木¹³⁾によれば Fe³⁺ は溶融 FeO の密度を減少（約 -0.07 g/cm³/%Fe₂O₃）させる。これらのデータを用いて、Fe₂O₃ 含量の温度による変化から表面張力、密度の温度変化を推定してみると、表面張力については $d\sigma/dT = 0.27 \text{ dyn/cm}^{\circ}\text{C}$ 密度については $d\rho/dT = 0.0021 \text{ g/cm}^3/\text{°C}$ となる。本実験結果ではそれぞれ 1.3 および 0.0019 であり、密度についてはほぼ一致しているが、表面張力についてはかなりの相違が見られ、さらに検討の要があるように思われる。

溶融 FeO の表面張力についてはこれまでに測定は少なく、KOZAKEVITCH¹⁾, U. DIN-FEN et al.¹⁰⁾ の報告がある程度で、これらの結果に比較して本測定結果は Fig. 3 に示すように多少低い値であった。この表面張力の違いは KOZAKEVITCH¹⁾ が用いた FeO 中の Fe₂O₃ が 4~5% であつたと報告されているのに対し、本実験での炉冷後の試料の分析結果によれば、6~9% であり、表面活性な Fe₂O₃ 濃度の違いによるものではないかと推定される。

密度についての本実験結果は従来の測定結果とよく一致している。なお図には示していないが、POPEL, ESIN²³⁾, WARD, SACHDEV¹⁴⁾ によれば気泡形成に N₂ ガスを用いた場合、1400°C で 4.9 g/cm³ という高い値が得られており、さらに WARD, HENDERSON¹⁵⁾ は気泡生成ガス

の種類が密度値に影響すると報告している。しかし、本実験で Ar ガスと CO-CO₂ 混合ガス（各温度で FeO と平衡する組成）を用いて測定した結果では Fig. 3 にみられるように表面張力および密度ともに差異はない。また足立ら⁹⁾ のアルキメデス法による密度の測定値は N₂ 霧囲気中の測定ではあるが、Ar を用いた他の測定値ともよく一致している。したがつて、使用するガス中の O₂ が高いような場合以外は気泡形成ガスの種類が影響するとは考えにくい。

3.2 FeO-CaO 系

測定温度範囲内では FeO-CaO スラグの表面張力お

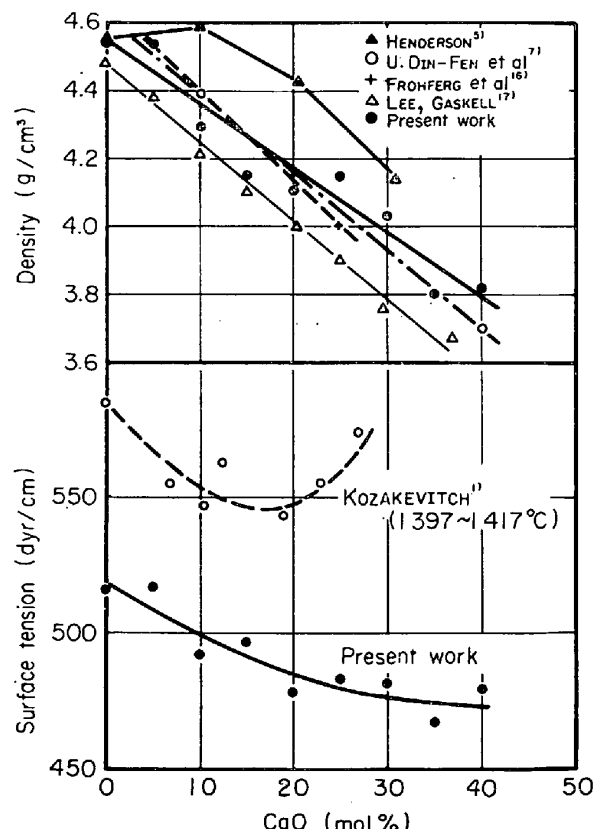


Fig. 4. Density and surface tension of FeO-CaO melts in contact with solid iron at 1400°C.

Table 1. Surface tension and density of FeO-CaO melts in contact with solid iron.

CaO (mol%)	Surface tension (dyn/cm)	$\sigma_{1400^\circ\text{C}}$	Density (g/cm ³)	$\rho_{1400^\circ\text{C}}$
0	1.303 t * -1308	516 ± 14 **	0.00186 t + 1.95	4.55 ± 0.03 **
5	0.493 t - 173	517 ± 12	0.00118 t + 2.89	4.54 ± 0.02
10	0.205 t + 205	492 ± 8	-0.00318 t + 8.75	4.29 ± 0.05
15	0.016 t + 475	496 ± 9	-0.00111 t + 5.71	4.15 ± 0.05
20	-0.182 t + 733	478 ± 15	-0.00127 t + 5.90	4.12 ± 0.02
25	0.072 t + 383	483 ± 7	-0.00015 t + 4.36	4.15 ± 0.05
30	-0.039 t + 536	481 ± 7	-0.00005 t + 4.10	4.03 ± 0.05
35	-0.074 t + 571	467 ± 10	-0.00217 t + 6.84	3.80 ± 0.05
40	-0.140 t + 675	479 ± 6	-0.00120 t + 5.50	3.82 ± 0.03

* t (°C)

** Standard deviation

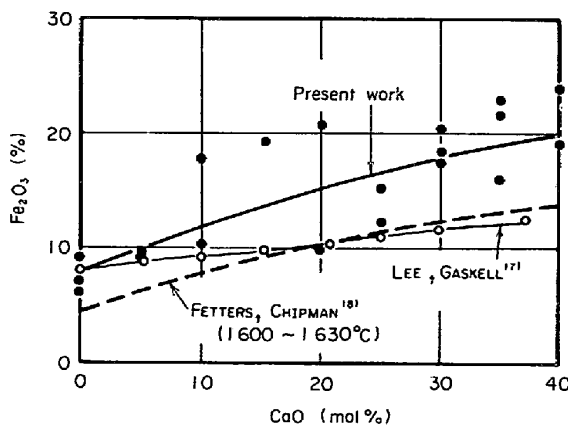


Fig. 5. Content of ferric oxide in FeO-CaO melts at 1400°C.

より密度と温度の関係は直線的であつた。その関係式を Table 1 に示す。FeO に CaO を添加した場合、CaO が 5 mol% と低い濃度では FeO と同様に表面張力、密度とともに温度係数が正という異常性がみられたが、CaO 濃度が増すにつれて温度係数は負に転ずる傾向が認められた。この際、表面張力の方が CaO の高濃度域までの正の温度係数を示しているのは表面活性な Fe³⁺ が表面に富化するためであろう。

1400°C における FeO-CaO スラグの表面張力および密度と組成の関係をほかの研究者の結果とあわせて Fig. 4 に示した。図にみられるように CaO の添加によつて表面張力、密度ともに減少する。

FETTERS, CHIPMAN¹⁸⁾によれば、固体鉄と平衡する FeO-CaO スラグでは鉄イオン中の Fe³⁺ の割合 (Fe³⁺ / (Fe²⁺ + Fe³⁺)) は CaO 濃度の増大とともにほぼ直線的に増大する。本実験での実験後の試料の分析結果には Fig. 5 に示すようにかなりのばらつきがあり、FETTERS らの値に比べて若干高いが定性的には一致している。

BONI, DERGE¹⁹⁾によれば、CaO の表面張力は FeO のそれに比べ大きいと考えられるが、CaO の添加でむしろ表面張力が低下するのは、スラグ中の Fe₂O₃ 濃度の増大を伴うためであろう。また、このことは表面張力の温度係数が CaO の高濃度域まで正であることにも関係していると考えられる。

そこで、この Fe₂O₃ の表面張力におよぼす影響を前節同様に $-9 \text{ dyn/cm}/\% \text{ Fe}_2\text{O}_3$ とし、CaO の表面張力係数については BONI, DERGE¹⁹⁾ や郡司, 植²⁰⁾ の結果を考察して $\sigma_{\text{CaO}} = 640 \text{ dyn/cm}$ を、FeO の表面張力係数には本実験の値 $\sigma_{\text{FeO}} = 520 \text{ dyn/cm}$ を採用し、Fig. 5 の結果を使用して(3)式より表面張力と CaO 濃度の関

$$d\sigma/dx_{\text{CaO}} = (\sigma_{\text{CaO}} - \sigma_{\text{FeO}}) - 9d(\% \text{ Fe}_2\text{O}_3)/dx_{\text{CaO}}$$

x_{CaO} : CaO のモル分率 (3)

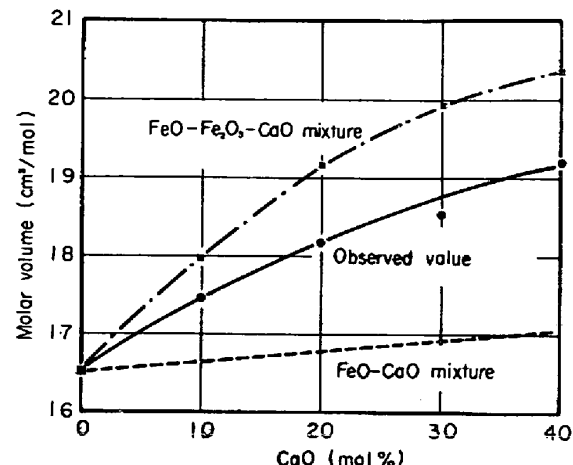


Fig. 6. Molar volume of FeO-CaO melts at 1400°C.

係を推定すると、1 mol% CaO の添加で約 -1.5 dyn/cm の表面張力の低下が予想される。実測値は $-1.3 \text{ dyn/cm}/\text{mol} \% \text{ CaO}$ で計算値とほぼ一致している。

ところで、KOZAKEVITCH¹¹の測定結果（浸漬円筒法）と比較すると本測定結果の方が約 60 dyn/cm 低いが、これが測定法の違いによるものか、Fe₂O₃ 濃度の違いによるものかは明らかではない。また、彼の結果によれば 15 mol% CaO 付近に表面張力に極小値が現われているが、本実験では CaO の高濃度域で表面張力の減少傾向が若干小さくなる程度で、極小値は認められなかつた。

密度と組成の関係は Fig. 4 にみられるように、絶対値には多少の差異が認められるが、その傾きについては各測定者とも一致した傾向を示している。CaO の密度値として LEE, GASKELL¹⁷⁾による 3.10 g/cm^3 を採用し、FeO-CaO スラグのモル体積と CaO 濃度の関係を調べた結果を Fig. 6 に示す。単純に CaO と FeO の混合溶液と考えれば破線のようになり、実測値は正の偏奇を示すことになる。しかし、Fig. 5 に示す Fe₂O₃ の濃度変化を考慮して、森・鈴木¹³⁾のデータを用いて理想溶液を生成すると考えた場合のモル体積を求めると、図中一点鎖線となり、実測はむしろ理想性から負の偏奇を示すことがわかる。

Pt-Rh るつぼを用いて測定を行なつた LEE, GASKELL¹⁷⁾は FeO-CaO 融体の酸素充填密度 (oxygen density) は Fe₂O₃ の濃度変化を考慮すれば、理想溶液と見なせると報告しているが、これは、Fig. 5 に示したように、彼らの測定では Fe₂O₃ の変化が鉄るつぼを使用した本実験の半分程度であり、その影響が小さかつたことに起因するであろう。

固体鉄と平衡する FeO-CaO スラグ中の FeO の活量

Table 2. Surface tension and density of FeO-SiO₂ melts in contact with solid iron.

SiO ₂ (mol%)	Surface tension(dyn/cm)	$\sigma_{1400^{\circ}\text{C}}$	Density (g/cm ³)	$\rho_{1400^{\circ}\text{C}}$
10	1.164 t - 1137	492 ± 7	-0.00744 t + 14.57	4.16 ± 0.05
20	0.582 t - 338	477 ± 8	-0.00291 t + 8.04	3.96 ± 0.05
33	1.422 t - 1543	448 ± 8	-0.00422 t + 9.51	3.61 ± 0.05
40	0.599 t - 422	417 ± 13	-0.00388 t + 9.00	3.57 ± 0.04

は CaO の高濃度域ではラウルの法則から負に偏倚しているが²¹⁾このことは FeO-CaO スラグ中でカルシウムフェライト (calcium ferrite) の生成傾向が比較的強いことを予想させる。このため、CaO の添加により Fe₂O₃ 濃度が増大するとともに、混合によるモル体積の変化が負の偏倚を示したものと推定される。

3.3 FeO-SiO₂ 系

本系の表面張力、密度と温度の関係を Table 2 に示す。測定した温度範囲では温度の上昇により密度は減少しているが、表面張力はいずれの組成の場合にも増大した。このように、表面張力の温度係数が正となることは SiO₂ を含むスラグでよく見られる現象である。KING²⁾

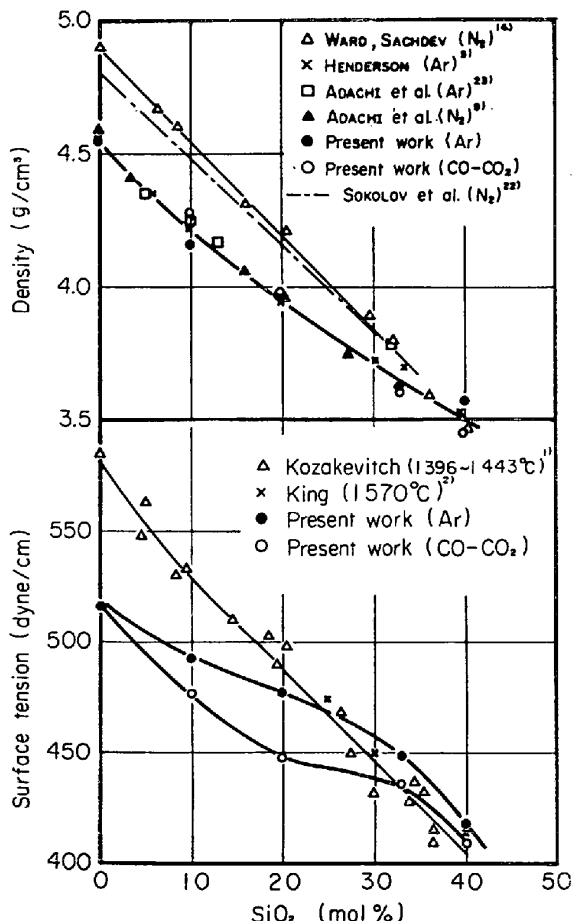


Fig. 7. Density and surface tension of FeO-SiO₂ melts in contact with solid iron at 1400 °C.

によれば、SiO₂ が表面活性なために表面層に富化し、大きな硅酸陰イオンを形成するが、温度の上昇とともにそれが熱解離するためであると考えられている。

1400°C における FeO-SiO₂ スラグの表面張力、密度と組成の関係を Fig. 7 に示す。両者ともに SiO₂ 濃度の増大により減少している。この系のスラグ粘度の測定結果¹⁾²⁴⁾によれば、33 mol% SiO₂ 組成に極大値が観察されており、これは 2FeO·SiO₂ 化合物の構造が液体中にも残存するためと考えられている。Ar ガスを使用した場合、33 mol% SiO₂ 以下で表面張力の変化が若干大きくなる傾向がみられたが、密度についてはそのような変化は認められなかつた。なお、本系ではスラグ中の FeO と平衡する組成の CO-CO₂ 混合ガスを用いても測定したが、その結果は、図にみられるように、密度は Ar ガスの場合とよく一致していたが、表面張力は 10~20 dyn/cm 低い値を示した。この原因については不明である。

表面張力に関して、KOZAKEVITCH¹⁾ や KING²⁾ の結果と比較した場合、SiO₂ 濃度が低い領域では本実験結果の方が 50~60 dyn/cm 低いが、30~40 mol% と SiO₂ の高い濃度域ではほぼ一致した値である。FeO-SiO₂ 系での Fe₂O₃ の濃度変化を Fig. 8 に示す。この系では SiO₂ 濃度の増大とともにスラグ中の Fe₂O₃ 量は低下する。したがつて、SiO₂ の高濃度域では、Fe₂O₃ の絶対量が少ないために、雰囲気の酸素分圧や温度が相違しても Fe₂O₃ の濃度変化が小さく、各測定者の結果は一致するが、SiO₂ の低濃度域では Fe₂O₃ 濃度が比較的高くその含量の相違の表面張力に対する影響が大きくなるために Fig. 7 にみられるように KOZAKEVITCH の結果との差異が生じたのであろう。

つぎに、Fe₂O₃ の濃度変化を考慮して、SiO₂ の低濃度域における表面張力と組成の関係を検討してみる。Ar ガスを用いた場合のスラグ中の Fe₂O₃ を分析していないので、Fig. 8 において、FeO の点 (○印) から SCHUHMANN, ENSIO²⁵⁾ のデータに平行に引いた実線を FeO-SiO₂ 2 元系スラグ中の Fe₂O₃ の濃度変化 (-0.2% Fe₂O₃/ mol% SiO₂) とみなす。また、SiO₂ の表面張力係数としては、郡司、檀²⁰⁾が CaO-SiO₂-Al₂O₃ 系スラ

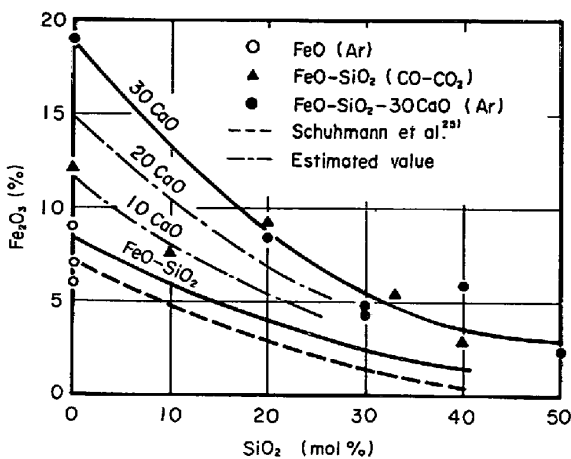


Fig. 8. Content of ferric oxide in $\text{FeO}-\text{SiO}_2$ and $\text{FeO}-\text{SiO}_2$ -30 mol% CaO melts at 1400°C.

グについて求めた表面張力係数に温度の違いを考慮して $\sigma_{\text{SiO}_2} = 200 \text{ dyn/cm}$ を採用した。(3)式と同様な関係式により計算した結果では 1 mol% SiO_2 の添加による表面張力の変化量は -1.4 dyn/cm と計算されるが、実測値は -2.4 dyn/cm で計算値に比べ若干大きな変化を示している。

溶融珪酸塩の構造に関する研究によれば、 SiO_2 はスラグ中で種々の形の珪酸陰イオンとして存在することが知られている。 $\text{FeO}-\text{SiO}_2$ 系スラグについての MASSON²⁶⁾の計算によれば、 SiO_2 濃度が増大するとともに SiO_4^{4-} イオンに対する大きな珪酸陰イオンの割合が増大する。 SiO_2 が富化している表面層では、珪酸イオンの重合の程度はバルクより大きいと推定され、 SiO_2 濃度の増大により SiO_2 の表面張力係数の低下が予想される。それゆえ、上述の表面張力の変化量に関する計算値と実測値との差の原因として珪酸陰イオンの重合の寄与を考えられるが、さらに、計算に用いた Fe_2O_3 含量の推定誤差の影響も加つているかも知れない。

密度の組成による変化をモル体積の変化として Fig. 9 に示す。 SiO_2 の密度は 2.20 g/cm^3 ²⁷⁾ として計算した。図中破線は組成による Fe_2O_3 の濃度変化を無視し FeO と SiO_2 を機械的に混合した場合のモル体積の変化を表わしたものである。図にみられるように実測値は破線よりもかなり下方に位置している。同様の傾向は WARD, HENDERSON¹⁵⁾ によつても報告されている。彼らはこのずれは SiO_2 の重合によるものと推定しているが、同時に生ずる Fe_2O_3 の濃度変化は考慮されていない。SOKOLOV ら²²⁾はモリブデンるつぼを用い $\text{Fe}_2\text{O}_3 < 2.5\%$ の $\text{FeO}-\text{SiO}_2$ スラグの密度を測定し、同様の傾向を見だし、これは $\text{FeO}-\text{SiO}_2$ 融体中に化合物 $(2\text{FeO}\cdot\text{SiO}_2)$

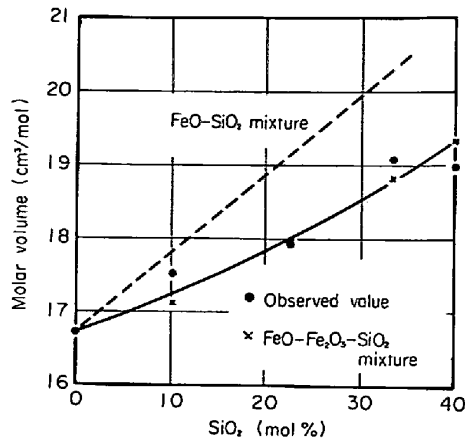


Fig. 9. Molar volume of $\text{FeO}-\text{SiO}_2$ melts at 1400°C.

の生成傾向が強いためであると推定している。しかし、彼らの実験ではわずかではあるが Mo のスラグ中への溶解が認められており、その影響を無視できないであろう。本測定結果について Fig. 8 の実線で示される Fe_2O_3 の変化を考慮し、理想溶液を生成するとしてモル体積を計算した結果を Fig. 9 に ×印で示した。実測値と計算値はよく一致している。 Fe_2O_3 の含量について若干の不確実さはあるが、従来報告された理想性からの負の偏奇はスラグ中の Fe_2O_3 を考慮すれば、より小さいものと考えられる。しかし、表面張力の組成変化などの実験結果を考えると、珪酸イオンの重合の寄与も無視できないようであり、理想溶液からはわずかに負に偏奇しているであろう。

3.4 $\text{FeO}-\text{CaO}-\text{SiO}_2$ 系

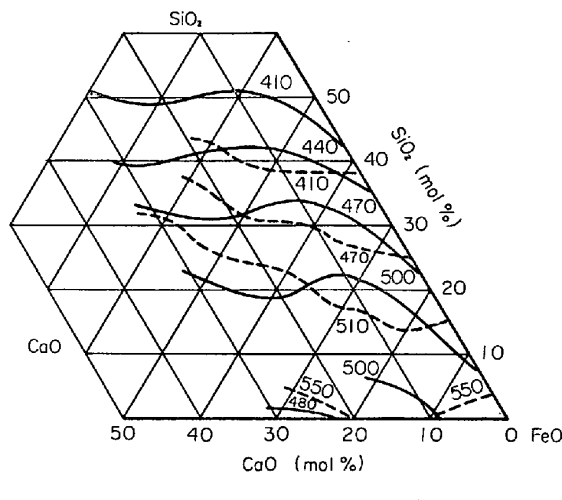
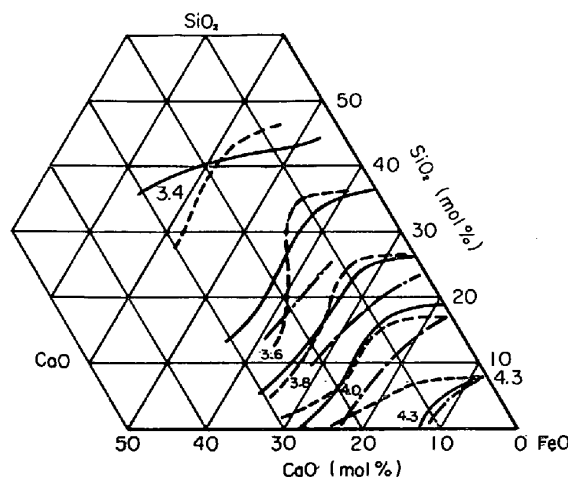
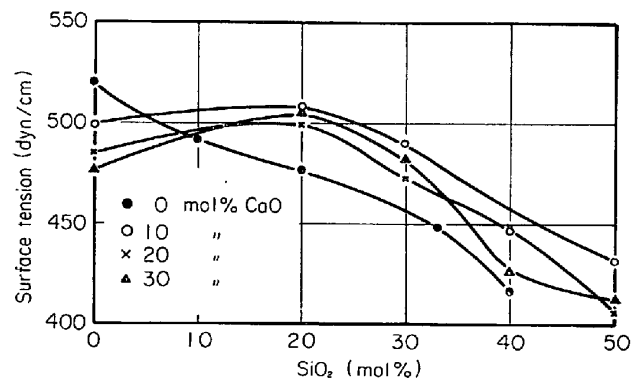
3元系スラグの表面張力および密度と温度の関係を Table 3 に示す。 SiO_2 を含む本系においては、測定したいずれの組成のスラグの場合にも表面張力の温度係数は正であつた。これに対し、密度は温度の上昇とともに直線的に減少した。

本測定結果より 1400°C における等表面張力線、等密度線を描いたのが Fig. 10, 11 の実線である。Fig. 10 に示した KOZAKEVITCH¹⁾の結果と比較すると、表面張力の変化の傾向は一致しているが、本実験結果は SiO_2 の低濃度域では低い値を、また、高濃度域では若干高い値を示している。Fig. 11 には比較的広い組成範囲で密度の測定がなされている HENDERSON⁵⁾ および足立²⁸⁾の測定結果をそれぞれ破線および一点鎖線で示してあるが、 FeO の低濃度域で若干の相違が見られるが、従来の結果とほぼ一致している。

これら 2 つの図において、一定 SiO_2 濃度の $\text{FeO}-\text{SiO}_2$ スラグに CaO を添加した場合の変化をみると、

Table 3. Surface tension and density of FeO-CaO-SiO₂ melts in contact with solid iron.

CaO	SiO ₂	Surface tension (dyn/cm)	σ_1 400°C	Density (g/cm ³)	ρ_1 400°C
	(mol%)				
10	20	0.286 t + 107	508 ± 1	-0.00334 t + 8.63	3.95 ± 0.06
	30	0.457 t - 150	490 ± 3	-0.00176 t + 6.14	3.68 ± 0.01
	40	0.054 t + 371	446 ± 5	-0.00331 t + 8.03	3.41 ± 0.05
	50	0.245 t + 89	432 ± 12	-0.00227 t + 6.53	3.35 ± 0.06
20	20	0.409 t - 74	499 ± 8	-0.00313 t + 7.98	3.60 ± 0.04
	30	0.290 t + 66	472 ± 11	-0.00266 t + 7.23	3.50 ± 0.04
	40	0.247 t + 102	448 ± 10	-0.00196 t + 6.23	3.48 ± 0.04
	50	0.212 t + 109	406 ± 5	-0.00182 t + 5.92	3.37 ± 0.03
30	20	0.737 t - 429	505 ± 8	-0.00397 t + 9.02	3.46 ± 0.02
	30	0.268 t + 106	482 ± 6	-0.00220 t + 6.55	3.47 ± 0.03
	40	0.556 t - 358	426 ± 5	-0.00240 t + 6.70	3.34 ± 0.03
	50	0.245 t + 69	412 ± 10	-0.00360 t + 8.29	3.25 ± 0.05

Fig. 10. Curves of the equal surface tension of FeO-CaO-SiO₂ melts at 1400°C.Fig. 11. Curves of the equal density of FeO-CaO-SiO₂ melts at 1400°C.Fig. 12. Surface tension of FeO-CaO-SiO₂ melts at 1400°C.

CaO 10 mol% 付近までは表面張力は増大するが、密度はほぼ一定であり、さらに CaO 濃度が増すと表面張力はほぼ一定値を示し、密度は減少する傾向が見られ、10 mol% CaO を境にしてその低濃度側と高濃度側で両物性値におよぼす CaO の影響に差異があることがわかる。

逆に、CaO 濃度が一定の場合の表面張力と SiO₂ 濃度の関係を示したのが Fig. 12 である。FeO-CaO スラグに表面活性な SiO₂ を添加したにもかかわらず、3 元系スラグの場合、SiO₂ が 20 mol% 以下の SiO₂ の低濃度側では表面張力は増大の傾向にあり、20 mol% 以上では、FeO-SiO₂ 2 元系の結果とほぼ平行に低下しているが、いずれの CaO 濃度の場合にも FeO-SiO₂ 2 元系の表面張力より高い値である。

このような表面張力の変化の理由として、共存する金属陽イオンの種類が異なることのほかに、Fe₂O₃ 含量の組成による変化や SiO₂ の重合が挙げられる。FeO-SiO₂ 2 元系に比べ CaO を含む 3 元系スラグでは、Fig. 8 に示したように、SiO₂ 添加によるスラグ中の Fe₂O₃ 含量

Table 4. Surface tension of FeO-30CaO-SiO₂ melts at 1400°C.

SiO ₂ (mol%)	0	20	30	40	50
Fe ₂ O ₃ (%)	18	8.4	5.5	4.0	3.0
σ_{obs} (dyn/cm)	476	505	482	426	412
σ_{calc} (dyn/cm)	466	492	473	466	443

の変化量が増大する。このFe₂O₃含量の低下による表面張力の増加量がSiO₂添加による表面張力の減少量より大きい場合にはFig. 12にみられるような極大現象が予想される。前節と同様に表面張力係数を用い、Fig. 8に示したFe₂O₃の濃度変化を考慮して30 mol% CaOを含む3元系スラグの表面張力を次式で推定した。 x_{FeO_t} は鉄酸化物はすべてFeOとみなした場合のモル

$$\sigma = \sigma_{\text{FeO}} \cdot x_{\text{FeO}_t} + \sigma_{\text{CaO}} \cdot x_{\text{CaO}} - 9\{(\% \text{Fe}_2\text{O}_3) - 8.0\} \quad (4)$$

分率、右辺第3項の8.0という数値は溶融酸化鉄中のFe₂O₃の含量である。結果をTable 4に示す。スラグの分析精度や表面張力の測定精度を考慮すればよく一致しているといえる。CaO濃度を10および20 mol%含むスラグ中のFe₂O₃の分析を行なわなかつたので比較できないが、これらのスラグ中のFe₂O₃濃度とSiO₂濃度との関係は30 mol% CaOのスラグの場合と類似の関係であると考え、Fig. 8に一点鎖線で示すようなFe₂O₃濃度の変化を想定すると、10, 20 mol% CaO系スラグの表面張力の変化も(4)式により説明できる。

MASSON²⁶⁾によればスラグ中に存在する各種の珪酸陰イオンの割合は共存するカチオンの種類によって変化する。また、LEEら^{3,17)}は密度測定の結果からFeOをCaOで置換していくと、大きな珪酸陰イオンの解離が起こることを報告している。共存するCa²⁺イオン自体の表面張力への影響とともに、この2次的な珪酸陰イオンの解離効果のためFig. 12に示されているように、同じSiO₂濃度でも3元系スラグの表面張力が高い値を示したものと推定される。

密度と組成の関係についても、CaO濃度を一定とした場合の結果をFig. 13に示す。図よりSiO₂濃度が増すにつれて、CaO濃度の差による密度の差が小さくなることがわかる。これをFe₂O₃の影響とみなせば、SiO₂の高い濃度域では融体中のFe₂O₃含量が少ないので、CaOによるFe₂O₃の変化量も低下することで説明される。

そこで、30 mol% CaO系スラグのモル体積の変化を調べてみると、Fig. 14に示すように、Fe₂O₃の濃度変化を考慮した場合の混合溶液の値に比べ、とくに30 mol%以上のSiO₂濃度では著しい負の偏奇がみられ、イオ

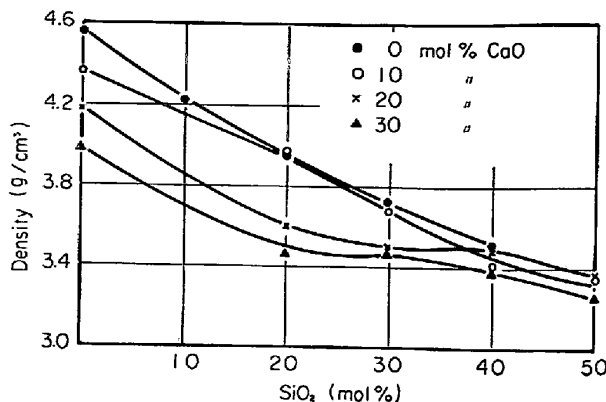


Fig. 13. Density of FeO-CaO-SiO₂ melts at 1400°C.

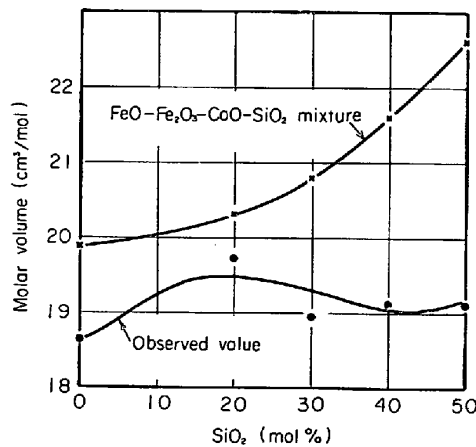


Fig. 14. Molar volume of FeO-30CaO-SiO₂ melts at 1400°C.

ン間の結合の強化が予想される。構造に敏感な性質である粘度に関するKOZAKEVITCH¹⁾の測定結果によれば、SiO₂ 30 mol%以上でSiO₂による粘度の増大傾向が大きくなっている。このことは、大きな珪酸陰イオンの増加による流動単位の増大とともにイオンの充填密度が密になるためであると考えられ、モル体積の変化と定性的に一致する。また、珪酸陰イオンの重合は表面張力の低下をもたらすので、Table 4に見られるSiO₂の高濃度では表面張力の実測値が計算値に比べて小さくなることにも対応するものである。

4. 結 言

最大泡圧法により固体鉄と平衡するFeO-CaO-SiO₂系2元、3元スラグの表面張力および密度を測定し次の結果を得た。

溶融酸化鉄の表面張力および密度は温度が上昇すると増加する。FeO-CaO 2元系スラグでは、CaOの添加により表面張力、密度ともに減少する。SiO₂を含む

FeO-SiO₂, FeO-CaO-SiO₂ スラグでは、測定したいずれの組成の場合にも表面張力の温度係数は正であつた。SiO₂ の添加により FeO-SiO₂ 2 元系スラグの表面張力、密度は低下するが、FeO-CaO-SiO₂ 3 元系スラグでは 20 mol% SiO₂ 付近で表面張力が極大になる傾向がみられた。

2 元系、3 元系スラグの表面張力について Fe₂O₃ 濃度の組成による変化を考慮し、表面張力係数を用いて計算した結果は実測値とかなりよく一致した。Fe₂O₃ 濃度を考慮にいれて計算したモル体積と実測値を比較した結果 FeO-CaO, FeO-CaO-SiO₂ 系スラグでは理想溶液から負の偏倚を示すことが知られた。

終りに、本研究は科学技術庁試験研究費および日本鉄鋼協会特別研究費の援助により行なわれたものであることを付記するとともに、本研究の遂行にあたり有益なご助言およびご討論いただきました鉄鋼基礎共同研究会溶鋼溶滓部会第 5 分科会の各委員の皆様に深く感謝の意を表します。

文 献

- 1) P. KOZAKEVITCH: Rev. Mét., 46(1949), p. 505; p. 572
- 2) T. B. KING: J. Soc. Glass Techn., 35(1951), p. 241
- 3) Y. E. LEE and D. R. GASKELL: Proc. ICSTIS, (1971), p. 564 Suppl. Trans. ISIJ
- 4) 溶鋼溶滓の物性値便覧, (1971) 日本鉄鋼協会
- 5) J. HENDERSON: Trans. AIME, 230(1964), p. 501
- 6) H. SCHENCK, M. G. FROHBERG, and K. HOFFMANN: Arch. Eisenhüttenw., 33(1962), p. 369
- 7) U. DIN-FEN, A. F. VISHKAREV, and V. I. YAVOISKII: Izv. VUZov, Cher. Met., (1962) 9, p. 66
- 8) D. R. GASKELL and R. G. WARD: Trans. AIME, 239(1967), p. 249
- 9) 足立, 萩野, 平野: 溶鋼溶滓部会第 4 回シンポジウム資料(1968), p. 45
- 10) U. DIN-FEN, A. F. VISHKAREV, and V. I. YAVOISKII: Izv. VUZov, Cher. Met., (1963) 1, p. 27
- 11) L. S. DARKEN and R. W. GURRY: J. Am. Chem. Soc., 68(1946), p. 798
- 12) S. I. POPEL and O. A. ESIN: Zh. Fiz. Khim., 30(1956), p. 1193
- 13) 森, 鈴木: 鉄と鋼, 54(1968), p. 1123
- 14) R. G. WARD and P. L. SACHDEV: Trans. AIME, 233(1965), p. 1496
- 15) R. G. WARD and J. HENDERSON: Trans. AIME, 233(1965), p. 1795
- 16) M. G. FROHBERG and H. H. BRANDI: Arch. Eisenhüttenw., 34(1963), p. 591
- 17) Y. E. LEE and D. R. GASKELL: Met. Trans., 5(1974), p. 853
- 18) K. L. FETTERS and J. CHIPMAN: Trans. AIME, 140(1940), p. 170
- 19) R. E. BONI and G. DERGE: J. Metals, 8(1956), p. 53
- 20) K. GUNJI and T. DAN: Trans. ISIJ, 14(1974), p. 162
- 21) 藤田, 入谷, 丸橋: 鉄と鋼, 54(1968), p. 359
- 22) V. I. SOKOLOV, S. I. POPEL, and O. A. ESIN: Izv. VUZov, Cher. Met., (1970) 2, p. 10
- 23) A. ADACHI, K. OGINO, and S. KAWASAKI: Technol. Rep. Osaka Univ., 13(1963), p. 411
- 24) M. G. URBAIN: Compt. Rend., 232 (1951), p. 330
- 25) R. SCHUHMANN and P. J. ENSIO: J. Metals, 3 (1951), p. 401
- 26) C. R. MASSON: Proc. Roy. Soc., 287(1965), p. 201
- 27) J. O'M. BOCKRIS, J. W. TOMLINSON, and J. L. WHITE: Trans. Faraday Soc., 52(1956), p. 299
- 28) 足立: 溶鋼溶滓部会昭和45年度シンポジウム資料(1970), p. 39
- 29) S. I. POPEL and O. A. ESIN: Zh. PRIKL. Khim., 29(1956), p. 651